

مدلسازی و شبیه سازی قطعات در ابعاد نانو به روش مدلسازی مولکولی

علی کفаш هوشیار^۱، نگین بریانی نظافت^۲ و سعید دانشمند^۳

Hoshiar@Qzviniau.ac.ir

چکیده

امروزه با گسترش دانش نانو شاهد ورود این علم به بخش‌های مختلف علوم مهندسی هستیم. بدلیل لزوم مدلسازی مولکولی اولیه در فرآیندهای ساخت در ابعاد نانو شاهد گسترش این نوع مدلسازی‌ها و ایجاد نرم افزارهایی بر این پایه می‌باشیم. مدلسازی در ابعاد اتمی در این مقاله با دو هدف اصلی مورد توجه قرار گرفته است که عبارتند از: ۱- بررسی‌های ساختاری قطعات در ابعاد نانو-ماکرو-۲- شبیه سازی‌های حرکتی بر پایه دینامیک مولکولی. در این مقاله اصول و مبانی هر دو روش مورد بررسی قرار گرفته و با کمک نرم افزار متلب^۴ الگوریتمی جهت مدلسازی ساختاری و شبیه سازی دینامیکی قطعات در ابعاد نانو ارایه شده است. در ابتدا قطعات در فرم‌های مکعب و استوانه با توجه به شبکه کریستالی آنها در ابعاد اتمی شبیه سازی شده است، تأثیرات حرارتی در دماهای متفاوت به کمک این شبیه سازی مورد بررسی قرار می‌گیرد. در بخش دوم مدلی بر پایه شبیه سازی دینامیکی مولکولی در حالت دو بعدی به منظور مدلسازی نوک پروب میکروسکوپ نیروی اتمی ایجاد شده است. و به کمک این مدل تأثیر نیرو بر تغییر شکل پروب میکروسکوپ نیروی اتمی شبیه سازی شده است.

کلیدواژه:

نانو- متلب- مدلسازی مولکولی- اثرات دمایی- میکروسکوپ نیروی اتمی

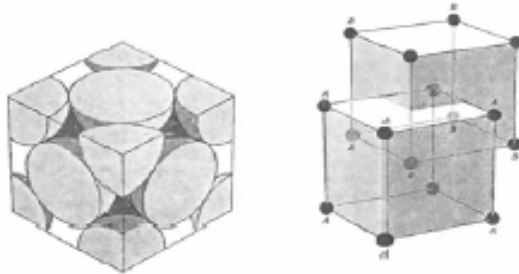
۱- عضو هیات علمی دانشکده مهندسی صنایع و مکانیک، دانشگاه آزاد اسلامی واحد قروین

۲- دانشجوی کارشناسی ارشد، دانشگاه آزاد اسلامی واحد علوم و تحقیقات تهران

۳- دانشجوی دکتری مهندسی مکانیک، دانشگاه آزاد اسلامی واحد علوم و تحقیقات

$$4r = \sqrt{2}a_0 \quad (3)$$

برای مکعب با وجهه مرکز دار با مشخص شدن ثابت شبکه مدلسازی هندسه، در سه حالت مورد بررسی قرار می گیرد.



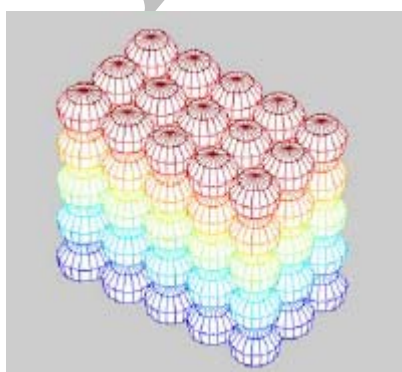
شکل (۲): مدل اتمی مکعب مرکز دار و مکعب با وجهه مرکز دار

۳- شبکه مکعب ساده

با توجه به رابطه (۱) ثابت شبکه دو برابر شعاع در نظر گرفته می شود و مدلسازی مطابق مثبته می پذیرد. در حقیقت اولین مرحله برنامه نویسی آخرین مرحله نمایش نرم افزار است. در این مرحله یک کره به صورت پارامتریکی ایجاد می کنیم. این عمل با کمک یک برنامه و استفاده از فرمول کره صورت می گیرد. با تغییر مختصات کره می توانیم مدل را ایجاد کنیم پس در قسمت های بعدی در حقیقت تنها مراکز اتم ها را به دست آورده و با کمک این قسمت مدل را به مدل اتمی تبدیل می کنیم.

۴- بدست آوردن مرکز اتم ها

با توجه به این نکته که ما از دو شکل مختلف استفاده نموده ایم، باید از دو الگوریتم مختلف نیز جهت ایجاد و به دست آوردن مرکزانها استفاده نماییم. برای ایجاد مکعب اتمی آن را به دو قسمت یکی دیواره و دیگری صفحات بالا و پایین تقسیم می کنیم و در انتهای در برنامه اصلی این دو قسمت را به هم وصل می کنیم تا شکل نهایی ایجاد شود(شکل ۳).



شکل (۳): مدل اتمی مکعب

۱- مقدمه

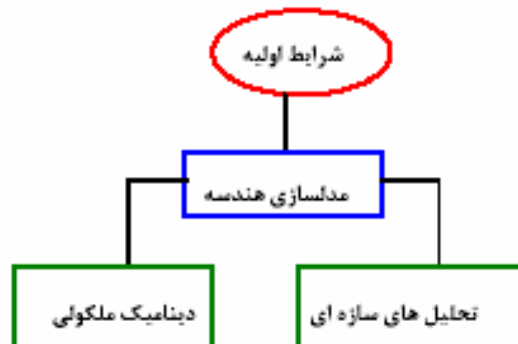
در مباحث ساخت در ابعاد نانو دو روش وجود دارد روش بالا به پایین و روش پایین به بالا در استفاده از این دو روش در بعضی از موارد نیازمند به ایجاد یک مدل CAD از سیستم می شویم که به منظور مدلسازی قطعات در ابعاد نانو کاربرد دارد[۱]. مدل CAD به دو منظور مورد استفاده قرار گرفته است.

۱- در مدل هندسی اتم ها در صفر درجه کلوین شبیه سازی می شوند و سپس می توانیم نوع اتم دلخواه را انتخاب کرده و مطابق آن انتخاب به قطعه خواص را نسبت دهیم ساختارهایی که در ابعاد نانو ایجاد می شوند لزوماً در صفر درجه کلوین نیستند و می بایست آنها را در درجه حرارت های مختلف بررسی و مدل سازی کنیم[۲].

۲- با مشخص شدن هندسه نقاط می توانیم با کمک مدلسازی ریاضی حاکم بر دینامیک حرکت ذرات مدل حرکتی آنها را بدست آوریم.

در این مقاله موارد زیر مورد بررسی قرار می گیرد:

- ۱- مدل سازی یک قطعه در ابعاد نانو با توجه به ساختار اتمی آن
- ۲- تغییر مدل ساخته شده بر اساس درجه حرارت ۳- مدلسازی دینامیک مولکولی نوک پروب میکروسکوپ نیروی اتمی(شکل ۱).



شکل (۱): الگوریتم عملکرد برنامه

۲- مدلسازی هندسه شبکه کریستالی

طبق تعریف به نظم اتمی تکرار شونده شبکه کریستالی می گویند. در این مقاله قصد داریم در بخش مدلسازی هندسه سه شبکه کریستالی مکعب ساده ، مکعب مرکز دار، مکعب با وجهه مرکز دار را مورد بررسی قراردهیم (شکل ۲). بمنظور مدلسازی این سه شبکه باید ثابت شبکه در آنها مشخص شود که با کمک روابط زیر مقدار ثابت شبکه برای هر یک از شبکه ها بدست می آید[۳].

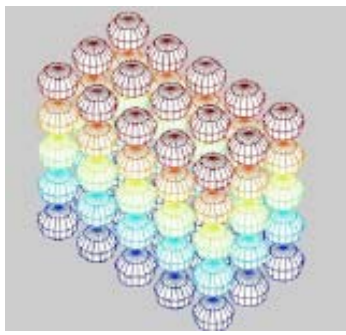
$$2r = a_0 \quad (1)$$

$$4r = \sqrt{3}a_0 \quad (2)$$

برای مکعب مرکز دار

۵- شبکه مکعب مرکز دار

برای این شبکه مطابق رابطه ۲ ثابت شبکه بدست می‌آید، با تغییر ثابت شبکه مدل اتمی تغییر می‌کند. در این حالت اتم‌ها در سطح خارجی کاملاً به هم چسبیده نبوده و مطابق ضربی شبکه فاصله دارند. در شبیه سازی از نمایش اتم‌های مرکزی صرفنظر شده است(شکل ۶).



شکل (۶): مدل اتمی مکعب مرکز دار

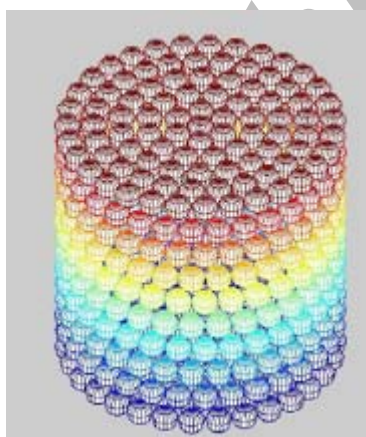
ایجاد یک استوانه اتمی به کمک دو الگوریتم صورت می‌گیرد یک الگوریتم دیواره جانبی استوانه را ایجاد می‌کند و الگوریتم دیگر صفحات بالا و پایین را می‌سازد تا به این ترتیب شکل کامل گردد برای این منظور شعاع خارجی استوانه مورد استفاده قرار می‌گیرد. شعاع خارجی را به قسمت‌های مساوی تقسیم می‌کنیم و اتم‌ها را روی هم قرار می‌دهیم تا یک ستون از شکل ایجاد شود. سپس این ستون‌ها در فاصله‌هایی که قبلاً روی استوانه ایجاد کرده بودیم قرار می‌گیرد و شکل کامل می‌شود(شکل ۴).



شکل (۴): مدل اتمی دیواره استوانه

۶- شبکه مکعب با وجوده مرکز دار

برای این شبکه مطابق رابطه ۳ ثابت شبکه بدست می‌آید، با اعمال این ثابت و در نظر گرفتن اتم‌های وجوده شبکه مدل اتمی ایجاد می‌شود. در این مدل اتم‌ها در لایه‌های مختلف روی هم نبوده و مطابق شبکه کریستالی تغییر می‌کنند (شکل ۷).

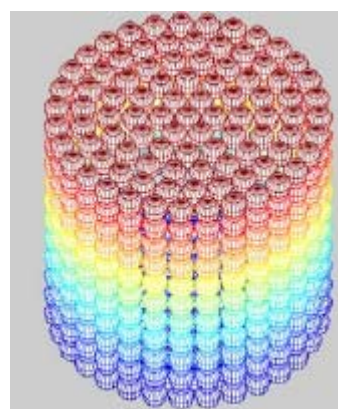


شکل(۷): مدل اتمی مکعب مرکز دار

۷- مقایسه مدل‌های اتمی

با مقایسه شکل (۳) و (۶) می‌توان به تفاوت دو مدل مکعب ساده و مکعب مرکز دار پی برد. در مکعب ساده بین اتم‌ها فاصله ای وجود ندارد در حالی که در مکعب مرکز دار متناسب با ثابت شبکه بین اتم‌ها فاصله وجود دارد. با مقایسه شکل (۵) و (۷) می‌توان به تفاوت

در این قسمت عملیات به این صورت انجام می‌شود که ابتدا خارجی ترین شعاع انتخاب می‌شود و اتم‌ها با توجه به قطر آنها روی آن قرار می‌گیرند. سپس روی قطر به سمت داخل و به اندازه قطر اتم حرکت کرده و در یک شعاع جدید عملیات قبل را تکرار می‌کنیم و همین عملیات را تا رسیدن به مرکز شعاع ادامه می‌دهیم. بدین ترتیب صفحات بالا و پایین استوانه در حالت اتمی ایجاد می‌شود. با وصل کردن این صفحات بالا و پایین به دیواره استوانه شکل کامل می‌گردد و استوانه به مدل اتمی آن تبدیل می‌گردد(شکل ۵).



شکل(۵): مدل اتمی استوانه

بررسی های دینامیک ملکولی از اهمیت بالایی برخوردار می باشد (شکل ۹).

جدول (۱): جدول مشخصات فیزیکی قطعه

جنس	ضریب انبساط حرارتی $\frac{1}{k^{\circ}}$	$T_0(k^{\circ})$	$T_1(k^{\circ})$	$T_2(k^{\circ})$
طلاء	$14.2 * 10^{-6}$	۰	۲۷۳	۱۳۳۷

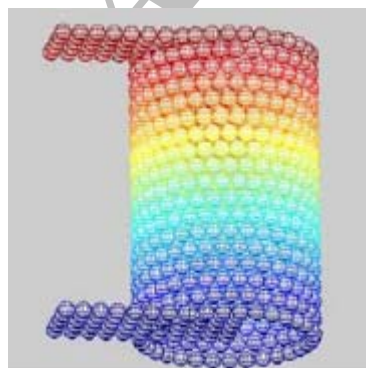
جدول (۲): مشخصات هندسی قطعه

جنس	شکل کریستالی	ارتفاع استوانه (نانو متر)	شعاع استوانه (نانو متر)	شعاع اتمی (نانو متر)
طلاء	FCC	۱۰	۳	.۲۹۲۲



شکل (۹): مدل یک استوانه در ابعاد نانو و در دمای $1337^{\circ}K$

با توجه به توانایی های مدلسازی نرم افزار با ترکیب طرح های پیش فرض موجود در نرم افزار می توانیم مدل های دلخواهی را جهت بررسی های سازه ای ارایه دهیم (شکل ۱۰).



شکل (۱۰): مدل ترکیبی با استفاده از امکانات نرم افزار

دو مدل مکعب ساده و مکعب با وجوده مرکز دار پی برد در مکعب ساده اتم ها در لایه های مختلف روی هم قرار دارند ولی در مدل مکعب با وجوده مرکز دار اتم ها در لایه های مختلف نسبت به هم یکی در میان جا به جا شده اند.

۸- تحلیل های سازه ای

با گسترش روش های ساخت در ابعاد نانو نیاز به بررسی و شبیه سازی رفتار قطعات در ابعاد نانو افزایش یافت، امروزه نرم افزارهای تجاری گوناگونی به شبیه سازی این گونه قطعات پرداخته اند. در نمونه ای که در شکل (۸) آورده شده است مدل CAD قطعه و مدل اتمی آن در دمای صفر کلوین و مدل اتمی تغییر شکل یافته در دمای محیط آورده شده است [۲].



شکل (۸): مدل CAD یک قطعه در ابعاد نانو

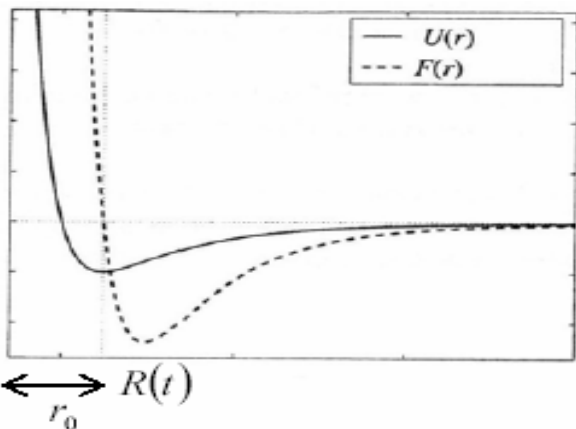
۹- تاثیرات دمایی

مدل ابتدایی در دمای صفر کلوین مدل شده است، بمنظور بررسی تغییر شکل حاصل از تغییر دما قصد داریم توانایی تغییر مدل مناسب با دما را در مدل ایجاد کنیم. به این منظور از رابطه کلاسیک انبساط حرارتی استفاده می کنیم.

$$\Delta L = \alpha' L \Delta T \quad (4)$$

با وارد نمودن رابطه ۴، مناسب با دما در قطعه تغییر شکل ایجاد می شود. برای اعمال این تغییر شکل ضریبی از فاصله را مناسب با افزایش فاصله هر بعد به آن اضافه می کنیم تا در نهایت شکل به صورت کاملاً یکسان حرکت کند و فاصله های آن تغییر نماید. نکته مهم در این عملیات این است که اضافه شدن فاصله ها باید مناسب با هر یک از ابعاد باشد در غیر این صورت باعث خطأ می گردد. در این قسمت بعنوان یک نمونه کاربردی استوانه ای در ابعاد نانو و از جنس طلا که در فرآیند چاپ در ابعاد نانو کاربرد دارد را در دمای های مختلف مدل می نماییم.

با وارد نمودن مقادیر ارایه شده در نرم افزار در سه دمای مختلف سه مدل CAD متفاوت بدست می آید. مقدار حداقل تغییر فاصله در این ساختار در دمای $1337^{\circ}K$ درجه کلوین برابر 19.19 نانو متر یعنی کمتر از قطر یک اتم طلا می باشد. ولی همین میزان تغییر فاصله در



شکل (۱۱): تابع انرژی پتانسیل و نیرو بر اساس فاصله

رابطه‌ای که بمنظور مدلسازی انرژی پتانسیل ارایه شده و در شبیه‌سازی دینامیک ملکولی مورد توجه است [۷]. بصورت زیر تعریف می‌شود.

$$U(r_{ij}) = D \left(\exp[-2\alpha(r_{ij} - r_0)] - 2 \exp[-\alpha(r_{ij} - r_0)] \right) \quad (7)$$

که در این رابطه D, α, r_0 انرژی چسبندگی مدول الاستیسیته و فاصله اتمی می‌باشند که برای هر ذرات متناسب با جنس آن تعریف می‌شوند. به این ترتیب با معادله نشان داده شده می‌توانیم انرژی پتانسیل در ابعاد اتمی را بیان نماییم.

حال با مشخص شدن انرژی پتانسیل، به مدلسازی انرژی جنبشی حاکم بر سیستم ذرات می‌پردازیم.

$$T = \int F dr = \int m \ddot{r} dr = \frac{1}{2} m \dot{r}^2 \quad (8)$$

حال اگر این معادله را برای سیستم ذرات بیان نماییم معادله زیر بدست می‌آید.

$$T = \sum_{i=1}^N \frac{m_i \dot{r}_i^2}{2} \quad (9)$$

$$\dot{r}_i^2 = \dot{x}_i^2 + \dot{y}_i^2 + \dot{z}_i^2 \quad (10)$$

۱۲- دینامیک نیوتونی

یکی از روش‌های اصلی که مدلسازی ملکولی بر پایه آن گسترش یافته است دینامیک نیوتونی می‌باشد. که در این مقاله بر این اساس شبیه‌سازی صورت گرفته است. طبق تعریف دینامیک نیوتونی داریم [۷].

$$m_i \ddot{r}_i = -\nabla_i U + F \quad i = 1, 2, \dots, N \quad (11)$$

۱۰- دینامیک ملکولی

تمام مطالب ارایه شده در قسمت‌های قبل پیش زمینه‌ای بمنظور ورود به بحث مدلسازی دینامیکی ملکولی می‌باشد. در این مدلسازی با مشخص شدن هندسه به کمک روابط مکانیکی حاکم بر سیستم ذرات مدلی ریاضی از دینامیک ذرات را بدست می‌آوریم. دینامیک ملکولی یک روش شبیه سازی با استفاده از اتم‌ها و ملکولها می‌باشد این مدلسازی بر اساس قوانین شناخته شده مکانیک صورت می‌پذیرد. کاربرد این شبیه‌سازی در تحلیل‌های حرکتی مانند پرتاب‌های میکروسکوپ نیروی اتمی و نانو ماشین‌ها بوده و دلیل استفاده از این شبیه سازی پیچیده بودن حل تحلیلی و بکار بردن حل عددی به کمک این روش می‌باشد که شبیه سازی را امکان پذیر می‌نماید [۴]. روش دینامیک ملکولی روشی برای شبیه سازی کامپیوتری بر اساس حل معادلات حرکت نیوتون، لاکرانژ^۱ و اصل همیلتون^۲ و سایر روش‌های شناخته شده فیزیکی، مکانیکی در مدل‌های اتمی می‌باشد. از این روش بمنظور بدست آوردن اطلاعاتی درباره تعادل و خصوصیات دینامیکی و فیزیکی استفاده می‌شود.

۱۱- مدلسازی دینامیک ذرات

حال جهت بدست آوردن معادلات حرکت حاکم بر سیستم به تعریف معادلات پتانسیل حاکم بر ذرات می‌پردازیم. همانطور که می‌دانیم انرژی پتانسیل از رابطه زیر بدست می‌آید [۵].

$$F_i = -\frac{\delta u}{\delta r_i} = -\left(\frac{\delta}{\delta x_i} + \frac{\delta}{\delta y_i} + \frac{\delta}{\delta z_i} \right) u = -\nabla_i u \quad (5)$$

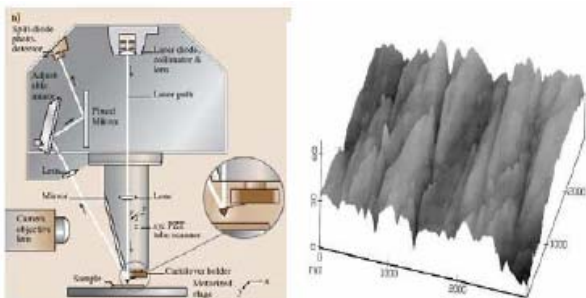
$$i = 1, 2, \dots, N$$

نیروی پتانسیل وارد بر ذرات متناسب با نیروهای بین اتمی آنها تعریف می‌شوند که رابطه انرژی پتانسیل و نیرو در شکل زیر بر اساس فاصله بیان شده است. همانطور که در نمودار نیز مشخص شده است زمانی که انرژی پتانسیل حداقل میزان خود را دارد نیروی حاصل از آن مساوی صفر بوده و این بدین معنی است که در آن نقطه ذره در تعادل است. و فاصله آن تغییر نمی‌کند (شکل ۱۱). ابتدا ای ترین مدل ارایه شده برای تابع پتانسیل فوق بصورت رابطه ۶ می‌باشد.

$$u_{ij} = \begin{cases} = \infty & \text{for } r_{ij} < r_0 \\ = 0 & \text{for } r_{ij} \geq r_0 \end{cases} \quad (6)$$

1 - Lagrange
2 - Hamilton

مدل توپوگرافی سطح را با دقت نانو ارایه دهد، به موازات این کاربرد در کاربردهای بسیار متنوع دیگری نیز از این میکروسکوپ ها استفاده می شود (شکل ۱۳). فرض ارایه شده در این میکروسکوپ ها بر این اصل استوار است که در نوک پروب میکروسکوپ نیروی اتمی یک اتم قرار دارد این فرض بدلیل مشکلات ساخت عملی نشده است و این امر لزوم مدلسازی نوک پروب میکروسکوپ نیروی اتمی را جهت بهینه تر شدن دقت محاسبات و همچنین پیشگیری از کار افتادگی این پروب ها ممکن می کند [۹].



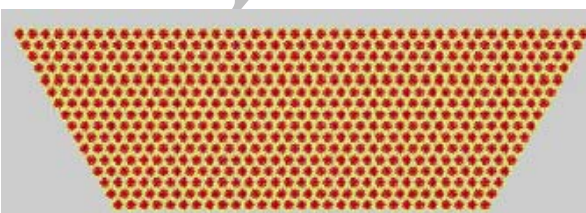
شکل (۱۳): میکروسکوپ نیروی اتمی

۲-۱۴- هندسه

با توجه به تئوری های ارایه شده و استفاده از دینامیک مولکولی می توان نوک پروب میکروسکوپ نیروی اتمی را جهت پیش بینی تغییر فرم نوک آن در اثر نیروی کوالانسی مدل نماییم. برای این منظور ابتدا هندسه حاکم بر پروب را بدست می آوریم. حال اگر اطلاعات جدول (۳) را در مدل اتمی وارد نماییم، مدل هندسی در ابعاد اتمی حاصل می گردد (شکل ۱۴).

جدول (۳): مشخصات هندسی پروب

جنس	طول میکرومتر	عرض میکرومتر	ارتفاع پروب میکرومتر	شعاع نوک پروب نانومتر
Si	225	48	12	۲۰



شکل (۱۴): مدل اتمی

مدل ارایه شده طبق محاسبه نرم افزار از ۲۰۶۹۶۹۲۷۹ اتم تشکیل شده است حل این مدل بصورت کامل به دلیل زمان بر بودن و

در رابطه فوق F_i بیان کننده نیروهای ناپایستار و یا نیروهای خارجی وارد بر سیستم است، و $U_i - \nabla_i U$ نیز بیان کننده نیروهای پایستار وارد بر سیستم است. در بیان نیرو های ناپایستار وارد بر این سیستم F_i را می توان بصورت مجموع دو نیرو که در زیر آمده است مورد بررسی قرار داد.

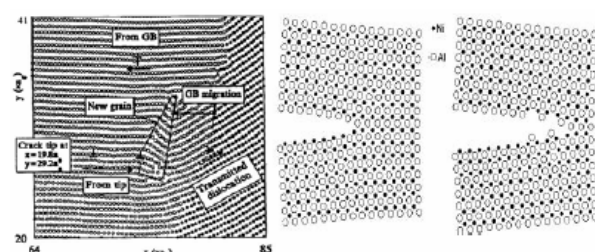
این نیروها ناشی از مدل دمپینگ وارد بر سیستم $F_i^d = -m_i \gamma_i \ddot{r}_i$ که در آن γ_i ثابت دمپینگ می باشد. نیروهای ناشی از تأثیرات حرارتی با کمک رابطه $R(t)$ مدلسازی می شوند.

که در نهایت با اضافه شدن این دو نیرو معادله نهایی بصورت زیر بیان می شود.

$$m_i \ddot{r}_i = -\nabla_i U - m_i \gamma_i \dot{r}_i + R_i(t) \quad (12)$$

۱۳- نتایج و کاربرد ها

مدلسازی دینامیک مولکولی در موارد متعددی از شبیه سازی های میکرو نانو مانند شبیه سازی رشد ترک در ابعاد نانو به کمک روش اجزا محدود، مدلسازی ناجایی ها در میکرو استراکچر [۸] مورد توجه قرار گرفته است. با توجه به اهمیت بسیار بالای میکروسکوپ های نیروی اتمی در مسایل مرتبط با نانو مکانیک و لزوم شناخت کافی نسبت به مکانیزم تغییرات در سطح پروب این میکروسکوپ ها بدلیل تاثیر این تغییرات بر کیفیت و دقت اسکن صورت گرفته از سطح و پیش بینی عمر مفید این پروب ها، روش شبیه سازی دینامیک مولکولی در این مقاله مورد استفاده قرار گرفته است (شکل ۱۲).



شکل (۱۲): مدلسازی رشد ترک و میکرو استراکچر

۱۴- شبیه سازی پروب میکروسکوپ نیروی اتمی به روش دینامیک مولکولی

۱۴-۱- میکروسکوپ نیروی اتمی

میکروسکوپ نیروی اتمی که بصورت گستردگی در نانوتکنولوژی مورد استفاده قرار گرفته است بر پایه این فرض ساخته شده است که با استفاده از تغییرات نیروی کوالانسی بین اتمهای سطح و پروب میکروسکوپ نیروی اتمی که حاصل از توپوگرافی سطح می باشد،

$$\sum m\ddot{x} = -f_{x1} - f_{x2} - f_{x3} - f_{x4} \quad (19)$$

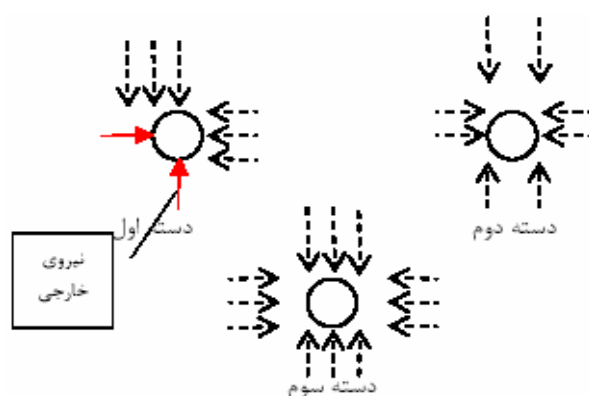
$$\sum m\ddot{y} = -f_{y1} - f_{y2} - f_{y3} - f_{y4} \quad (20)$$

دسته دوم:

$$\sum m\ddot{x} = -f_{x1} - f_{x2} - f_{x3} - f_{x4} - f_{x5} - f_{x6} \quad (21)$$

$$\sum m\ddot{y} = -f_{y1} - f_{y2} - f_{y3} - f_{y4} - f_{y5} - f_{y6} \quad (22)$$

دسته سوم:



شکل (۱۶): دیاگرام آزاد ذرات

در انتها تمام معادلات در قالب یک سیستم کوپل شده از معادلات دیفرانسیل بددست می آیند. که حل این معادلات به ازای شرایط مرزی مشخص شده می تواند با توجه به نیرو تغییر مکان اتم های پرتو میکروسکوپ اتمی را بیان نماید. برای هر اتم چهار معادله زیر صادق است.

$$\frac{dy_1}{dt} = y_2 \quad (23)$$

$$\frac{dy_2}{dt} = \frac{1}{M}(F_y - \sum f) \quad (24)$$

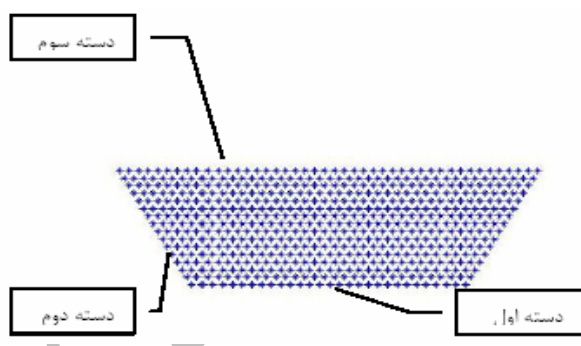
$$\frac{dy_3}{dt} = y_4 \quad (25)$$

$$\frac{dy_4}{dt} = \frac{1}{M}(F_x - \sum f) \quad (26)$$

۴-۱۴- روش حل معادلات حرکت

برای حل این دستگاه معادلات با توجه به مکان اولیه اتم ها و صفر فرض نمودن سرعت اولیه پرتو مقادیر اولیه مشخص می گردد. معادلات از نوع مقدار اولیه بوده و برای حل از روش رانگ کوتا مرتبه ۴ استفاده می شود.

امکانات سخت افزاری امکان پذیر نمی باشد زیرا این مدل در انتهای به دستگاه معادلات دیفرانسیلی با دو برابر تعداد اتم ها منجر می شود. بنابراین ارتفاع مدل ارایه شده را ۱۰ نانو متر فرض کرده و با توجه به ابعاد اتم سیلیسیوم و شبکه آن مدل زیر ارایه می شود (شکل ۱۵).



شکل (۱۵): مدل هندسی نانو

۳-۱۴- مدل سازی دینامیکی

در این مدل سازی فرض نمودیم عملیات در خلاصه صورت می گیرد و انرژی جنبشی صفر می باشد. جهت مدل سازی دینامیک در ابتدا با کمک رابطه ۵ نیروی پتانسیل که در حالت ساکن وجود دارد را بدست می آوریم.

$$f_x = \frac{\partial U}{\partial x} \quad (13)$$

$$f_x = \left(2\alpha D \times \frac{x}{\sqrt{x^2 + y^2}} \right) \times \begin{pmatrix} \exp \left[-2\alpha (\sqrt{x^2 + y^2} - r_0) \right] \\ - \exp \left[-\alpha (\sqrt{x^2 + y^2} - r_0) \right] \end{pmatrix} \quad (14)$$

$$f_y = \frac{\partial U}{\partial y} \quad (15)$$

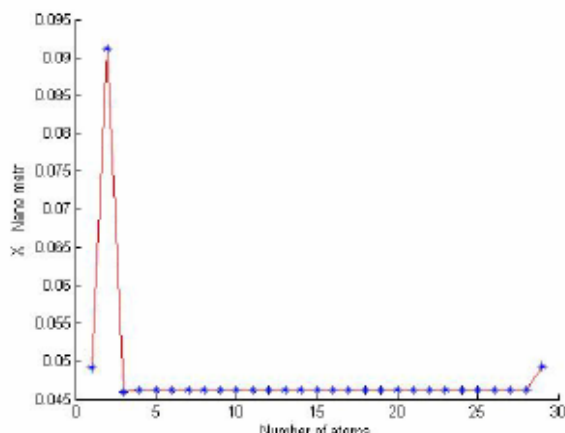
$$f_y = \left(2\alpha D \times \frac{y}{\sqrt{x^2 + y^2}} \right) \times \begin{pmatrix} \exp \left[-2\alpha (\sqrt{x^2 + y^2} - r_0) \right] \\ - \exp \left[-\alpha (\sqrt{x^2 + y^2} - r_0) \right] \end{pmatrix} \quad (16)$$

با توجه به رابطه ۱۶، ۱۴ و استفاده از مدل سازی دینامیک می توان برای هر ذره در شبکه معادلات تعادل را بیان نماییم. در بررسی معادلات دینامیک حاکم بر سیستم به سه مدل معادله برخواهیم خورد که در شکل (۱۶) نمایش داده شده است F_y و F_x . نیرو های خارجی می باشند.

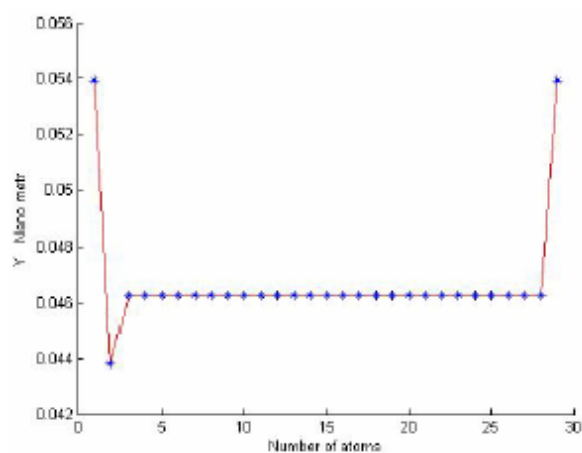
دسته اول:

$$\sum m\ddot{y} = -f_{y1} - f_{y2} - f_{y3} + F_y \quad (17)$$

$$\sum m\ddot{x} = -f_{x1} - f_{x2} - f_{x3} + F_x \quad (18)$$



شکل (۱۸): تغییر مکان سطح اول در راستای x



شکل (۱۹): تغییر مکان سطح اول در راستای y

برای مشخص شدن اثر تغییرات جایه جایی نسبی، نمودار جایه جایی هر ذره را در سطح دوم رسم می کنیم. همانطور که انتظار داشتیم برای خنثی کردن اثر نیروی سطح اول جایه جایی ها در جهت معکوس صورت و مقدار آن در ابتدا بعلت شرایط مرزی از میانگین، بیشتر است و در ادامه به تعادل رسیده در انتهای نیز مجدداً بعلت شرایط مرزی تغییر می کند (شکل ۲۱ و ۲۲).

در این قسمت بمنظور مقایسه سطوح مختلف تغییر مکان تمامی اتم های مدل بررسی می شود که همانطور که انتظار داشتیم در لایه اول بیشترین و در لایه های بعدی کمتر می شود . و به سمت صفر میل می کند (شکل ۲۳ و ۲۴).

بمنظور بررسی تاثیر جهت نیرو بر جایه جایی نسبی ذرات نیرو های خارجی را در جهت منفی x و منفی y به اندازه ۱۰ نانو نیوتون وارد می کنیم. همانطور که انتظار داشتیم جهت جایه جایی در اتم های سطح اول منفی شده است.

۱۵- بررسی نتایج مدلسازی

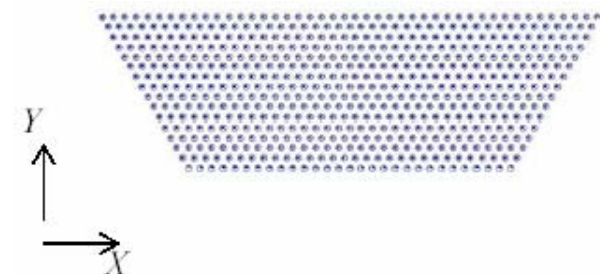
در این مرحله به بررسی نتایج حاصل از حل معادلات می پردازیم. برای این منظور مدلی مطابق داده های جدول (۴)، (۵) ارایه می شود [۸]. در ابتدا کلیه نقاط را در دو حالت قبل و بعد از بارگذاری رسم می کنیم (نمایش دهنده بعد از بارگذاری و ۵ نمایش دهنده قبل از بارگذاری می باشد). همانطور که از شکل (۱۷) مشخص است این دو حالت متفاوت می باشند. در حالت بعد از بارگذاری متناسب با جهت نیرو که در جدول مشخص شده است ذرایتی که در تماس با نیرو هستند تغییر مکان می دهند و متناسب با آن سایر ذرایت نیز تغییر می کنند. که این حرکت برای ذرایت سطح اول کاملاً محسوس بوده و در شکل مشخص است.

جدول (۴): مشخصات هندسی مدل

جنس	ارتفاع نانو متر	شعاع نوک پروب نانو متر	نیروی خارجی نانو نیوتون	جرم اتمی amu	شعاع اتمی نانو متر
si	10	20	10	10	0.341

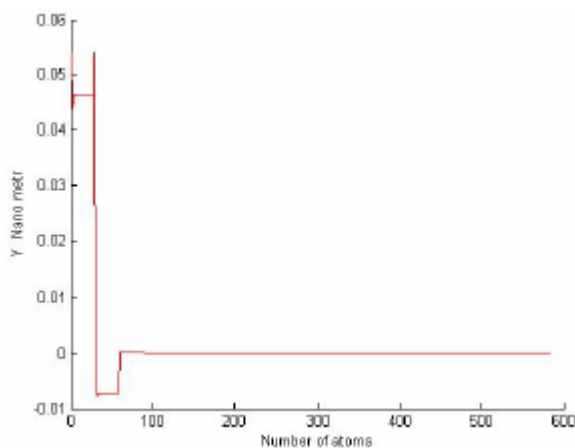
جدول (۵): ضرایب معادله نیروی پتانسیل

	D(kcal/mol)	α
Si-Si	0.2956	11.7139



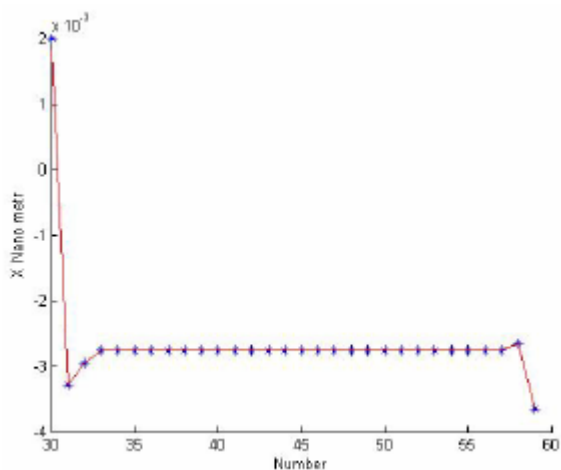
شکل (۱۷): تغییر مکان بعد و قبل از بارگذاری

برای بررسی میزان این تغییر شکل ها و مقایسه تحلیلی نتایج، اتم های سطوح مختلف را در نمودارهای جداگانه رسم می کنیم. در شبیه سازی اتم های سطح اول، اتم اول تحت شرایط مرزی متفاوتی است و با سه اتم در مجاورت است. همین امر باعث می شود تغییر مکان متفاوتی در آن ایجاد شود که این تغییر مکان با تاثیر به روی اتم بعدی باعث می شود این اتم نیز تغییر مکان متفاوتی نسبت به اتم های دیگر این سطح داشته باشد. تغییر مکان های نسبی در این مرحله به حالت تعادل می رسد. در اتم انتهایی بعلت متفاوت بودن شرایط مرزی مجدداً تغییر مکان نسبی افزایش شدید خواهد داشت (شکل ۱۸ و ۱۹).

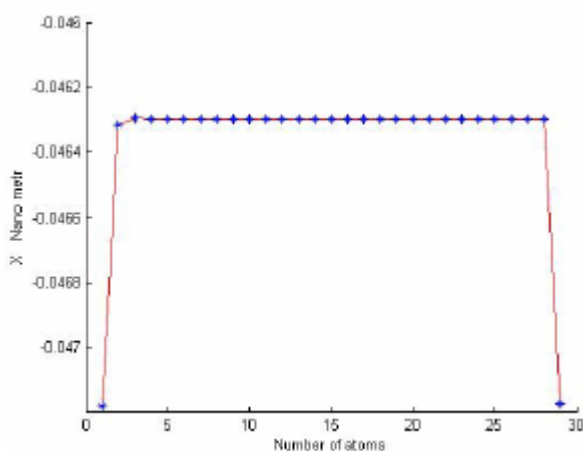


شکل (۲۳): تغییر مکان اتم ها در راستای y

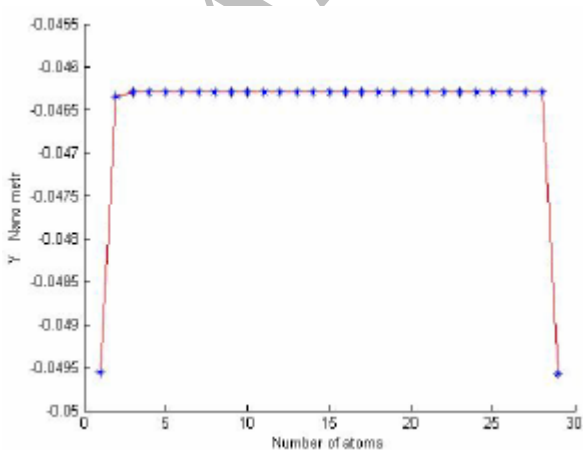
میزان میانگین این جایه جایی متناسب با حالت قبل ولی در جهت منفی می باشد. در ابتدا و انتهای بدلیل شرایط مرزی مختلف شاهد جایه جایی بزرگتری خواهیم بود (شکل ۲۴ و ۲۵).



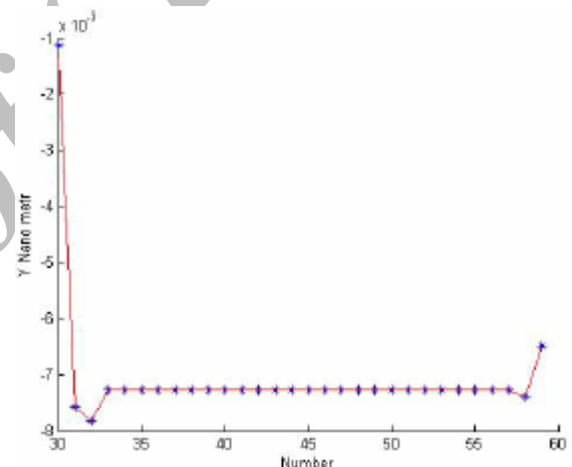
شکل (۲۰): تغییر مکان سطح دوم در راستای x



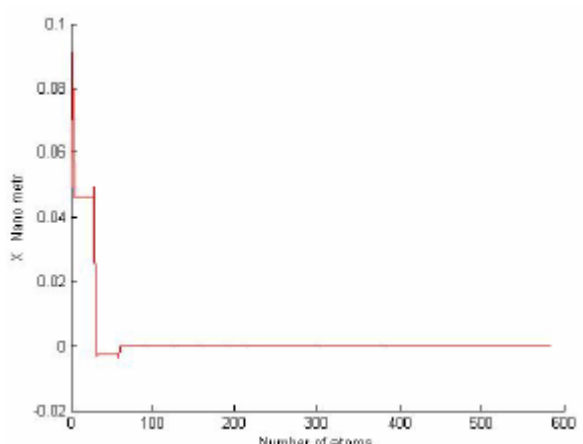
شکل (۲۴): تغییر مکان سطح اول در راستای x



شکل (۲۵): تغییر مکان سطح اول در راستای y



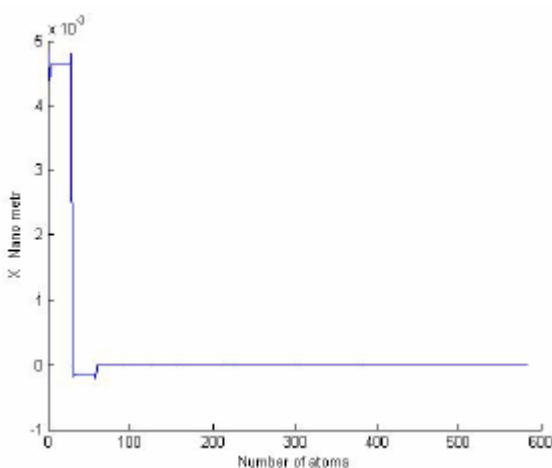
شکل (۲۱): تغییر مکان سطح دوم در راستای y



شکل (۲۲): تغییر مکان اتم ها در راستای x

r_{ij}	فاصله نسبی اتم ها، nm
r_o	فاصله تعادل اتم ها، nm
T	دما، K
u	انرژی پتانسیل، J
x	فاصله در راستای محور x
y	فاصله در راستای محور y
z	فاصله در راستای محور z
α	مدول الاستیستیته اتمی،
α'	ضریب انبساط حرارتی، $1/K$
γ	ضریب دمپینگ، kg/

در این قسمت شبیه سازی را با نیروی ۱ نانو نیوتون انجام می دهیم. مشاهده می شود تغییر مکان بشدت کاهش یافته است ولی روند کلی تغییر مکان ها متناسب با حالت قبل می باشد(شکل ۲۶).



شکل (۲۶): تغییر مکان اتم ها در راستای x

۱۸- مراجع

- [1] Ming Chieh Cheng ,Yun Liang Hsueh , Hsung Yu Chen, Cheng Kuo Sung, "Length Effect on Formation of Metallic Patterns by Nanoimprinting Molecular Dynamics Simulation", International Conference on Advanced Manufacture, Taipei Taiwan, Vol. 505-507 (2), 2005, pp. 133-138.
- [2] Michael Rieth, "Nano-Engineering in Science and Technology: An Introduction to the World of Nano-Design", World Scientific Pub Co Inc, 2003.
- [3] Ashcroft, Mermin, "solid state physics", Holt, Rinehart, and Winston, New York, 1976.
- [4] D. C. Rapaport, "the art of molecular dynamics simulation second edition", Cambridge University Press, 2004.
- [5] Wing Kam Liu, Eduard G.Karpov Harold S.Park, "Nano Mechanical and Materials", Wiley ,2005.
- [6] Jin-Ray Hsu , Chin-Chung Hsiao, Cheng-Kuo Sung, Chaug-Liang Hsu, "Thermo-mechanical Effect on Nanostructure Formation using Atomic Force Microscopy" , International Conference on Advanced Manufacture Taipei Taiwan, Vol. 505-507 (2), 2005, pp. 151-156.
- [7] Alan Hichliffe, "Modelling Molecular Structures", John Wiley & Sons, 2000.
- [8] Dierk Raabe, "Computational Materials Science", Wiley-VCH, 1998.

۱۶- نتیجه گیری

در این مقاله به بحث مدلسازی مولکولی پرداخته و نرم افزاری بر این پایه ایجاد نمودیم. با استفاده از مدلسازی مولکولی و وارد نمودن روابط مرسوم دینامیک، پروب میکروسکوپ نیروی اتمی را در ابعاد نانومتری با فرض اینکه عملیات در خلا صورت پذیرد و در نتیجه انرژی جنبشی صفر باشد، مدل نمودیم و با شبیه سازی رفتار این میکروسکوپ نیروی اتمی را شبیه سازی نمودیم. این شبیه پروب میکروسکوپ نیروی اتمی را شبیه سازی نمودیم. این شبیه سازی در بسیاری از کاربردهای این میکروسکوپ، مانند نانو رباتیک، نانو چاپ، و کاربردهای تصویربرداری می تواند مورد استفاده قرار گیرد. به کمک روش دینامیک مولکولی می توانیم تصویری از آنچه در دنیای نانو اتفاق می افتد را مدل نماییم و به پیش بینی رفتار مواد بپردازیم.

۱۷- فهرست علائم

a_0	ثابت شبکه، nm
D	انرژی چسبندگی اتمی، kcal/mol
F_i	نیروی ناپایستار، N
f_i	نیروی پتانسیل، N
L	طول، nm
M	جرم اتمی، amu
r	فاصله اتم ها، nm

[9] Bharat Bhushan, Springer "Handbook of Nanotechnology", Springer; 2004.

[10] Ersan Demiralp,Tahir Cagin, William A. Goddard, "Morse Stretch Potential Charge Equilibrium Force Field for Ceramics Application to the Quartz-Stishovite Phase Transition and to Silica Glass", Physical review letters, Vol. 82, No. 8, 1999 , pp. 1708-1711.

Archive of SID